

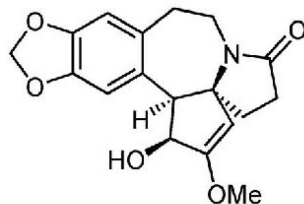


Peter Leonhard Steck (Autor)

Synthese von Cephalotaxin und Analoga durch Palladium-Katalyse und neuartige Domino-Reaktionen

PETER LEONHARD STECK

Synthese von Cephalotaxin und Analoga durch Palladium-Katalyse und neuartige Domino-Reaktionen



Cuvillier Verlag Göttingen

<https://cuvillier.de/de/shop/publications/3513>

Copyright:

Cuvillier Verlag, Inhaberin Annette Jentzsch-Cuvillier, Nonnenstieg 8, 37075 Göttingen,
Germany

Telefon: +49 (0)551 54724-0, E-Mail: info@cuvillier.de, Website: <https://cuvillier.de>

INHALTSVERZEICHNIS

I ALLGEMEINER TEIL

| | | |
|----------|--|-----------|
| 1 | Einleitung | 1 |
| 2 | Domino-Reaktionen | 3 |
| 2.1 | Das Domino-Konzept | 3 |
| 2.2 | Beispiele von Domino-Reaktionen in der organischen Synthese | 3 |
| 3 | Palladium-katalysierte Reaktionen | 7 |
| 3.1 | Die <i>Heck</i> -Reaktion | 7 |
| 3.1.1 | Der Katalysator | 8 |
| 3.1.2 | Oxidative Addition | 11 |
| 3.1.3 | Koordination des Alkens | 11 |
| 3.1.4 | Insertion | 12 |
| 3.1.5 | Innere Rotation und β -Hydrid-Eliminierung | 14 |
| 3.2 | Palladium-katalysierte Reaktionen allylischer Substrate | 15 |
| 3.3 | Neuere Beispiele Palladium-katalysierter Reaktionen | 19 |
| 4 | Trimethylaluminium in der organischen Synthese | 22 |
| 4.1 | Carboaluminierung | 22 |
| 4.2 | Amidsynthese mit Aluminiumamiden | 23 |
| 5 | Cephalotaxin und Analoga | 25 |
| 5.1 | Vorkommen und medizinische Bedeutung von Cephalotaxin | 25 |
| 5.2 | Entdeckung des Cephalotaxidin | 26 |
| 5.3 | Biosynthese von Cephalotaxin | 27 |
| 5.4 | Ausgewählte Synthesen von Cephalotaxin | 29 |
| 6 | Aufgabenstellung | 36 |
| 7 | Synthese von Cephalotaxin und 6-Oxo-Cephalotaxin mittels zweifacher Palladiumkatalyse | 38 |
| 7.1 | Ausgangsverbindungen der Synthesen | 39 |
| 7.2 | Synthese des offenkettigen Amids | 42 |
| 7.2.1 | Diskussion ausgewählter spektroskopischer Daten | 43 |
| 7.3 | Der Palladium-katalysierte Weg zu spirozyklischen Lactamen | 44 |
| 7.3.1 | Allylacetat als Edukt in der <i>Tsuji-Trost</i> -Reaktion | 44 |
| 7.3.2 | Synthese des Spirozyklus ausgehend von Allylcarbonaten | 47 |

| | | |
|-----------|--|-----------|
| 7.3.3 | Diskussion der spektroskopischen Daten | 49 |
| 7.4 | Über die <i>Heck</i> -Reaktion zum Cephalotaxingerüst | 50 |
| 7.4.1 | Diskussion der spektroskopischen Daten | 50 |
| 8 | Cephalotaxin über eine neuartige Domino-Reaktion | 52 |
| 8.1 | Eine neue Domino-Reaktion | 52 |
| 8.1.1 | Möglichkeiten und Grenzen der Domino-Reaktion | 53 |
| 8.1.2 | Diskussion des Mechanismus der Domino-Reaktion | 55 |
| 8.1.3 | Diskussion ausgewählter spektroskopischer Daten | 57 |
| 8.2 | Intramolekulare Arylierung eines <i>in situ</i> gebildeten Enolats | 57 |
| 8.2.1 | Diskussion des Mechanismus der Arylierung | 59 |
| 8.2.2 | Diskussion der spektroskopischen Daten | 60 |
| 9 | Studien zur Totalsynthese des Cephalotaxidin | 66 |
| 9.1 | Retrosynthese über vierfache Palladium-Katalyse | 66 |
| 9.2 | Stereoselektive Aldol-Reaktion und Amidkupplung | 68 |
| 9.3 | Erste Untersuchungen zur Substitutionsreaktion | 70 |
| 9.4 | Reduzierte Substrate in der Substitution | 72 |
| 9.5 | Azid als Hilfsnucleophil | 74 |
| 9.6 | Dimerisierung mittels <i>Mannich</i> -Reaktion | 76 |
| 10 | Zusammenfassung und Ausblick | 81 |

II EXPERIMENTELLER TEIL

| | | |
|----------|--|-----------|
| 1 | Allgemeine Methoden | 93 |
| 1.1 | Instrumentelle Analytik | 93 |
| 1.2 | Chromatographische Methoden | 94 |
| 1.3 | Palladiumkatalysatoren | 95 |
| 2 | Allgemeine Arbeitsvorschriften (AAV) | 96 |
| 2.1 | AAV 1: Palladium-katalysierte Spirozyklisierung allylischer Carbonate zu Lactamen | 96 |
| 2.2 | AAV 2: Intramolekulare <i>Heck</i> -Reaktion | 96 |
| 2.3 | AAV 3: Domino-Reaktion zur Synthese spirozyklischer Lactame aus primären Aminen und Estern | 96 |
| 2.4 | AAV 4: Intramolekulare Pd-katalysierte Arylierung von Ketonen | 97 |

| | |
|--|------------|
| 3 Ausgangsverbindungen | 98 |
| 3.1 Primäre Amine | 98 |
| 3.1.1 2-(Benzo[1,3]dioxol-5-yl)-ethylamin-hydrochlorid (143) | 98 |
| 3.1.2 2-(6-Brom-benzo[1,3]dioxol-5-yl)-ethylamin (124) | 99 |
| 3.1.3 C-(6-Brom-benzo[1,3]dioxol-5-yl)-methylamin (145) | 99 |
| 3.1.4 2-(6-Nitro-benzo[1,3]dioxol-5-yl)ethylamine (146) | 100 |
| 3.2 Cycloenonester | 101 |
| 3.2.1 3-(3-Oxo-cyclopent-1-enyl)propionsäure-methylester (151) | 101 |
| 3.2.2 3-(3-Oxo-cyclohex-1-enyl)propionsäure-methylester (152) | 102 |
| 4 Cephalotaxin und Oxo-Cephalotaxin mittels Palladium-Katalyse | 103 |
| 4.1 Synthese der offenkettigen Amide | 103 |
| 4.1.1 3-(3-Oxo-cyclopent-1-enyl)propionsäure (140) | 103 |
| 4.1.2 N-[2-(6-Brombenzo[1,3]dioxol-5-yl)-ethyl]-3-(3-oxo-cyclopent-1-enyl-1-yl)propansäureamid (157) | 104 |
| 4.1.3 N-[2-(6-Brombenzo[1,3]dioxol-5-yl)-ethyl]-3-(3-oxo-cyclohex-1-enyl-1-yl)propansäureamid (158) | 105 |
| 4.1.4 N-[2-(6-Brombenzo[1,3]dioxol-5-yl)-ethyl]-3-(3-acetoxy-cyclopent-1-enyl-1-yl)propansäureamid (160) | 106 |
| 4.2 Palladium-katalysierte Spirozyklisierung | 107 |
| 4.2.1 1-[2-(6-Brombenzo[1,3]dioxol-5-yl)-ethyl]-1-aza-spiro[4.4]non-6-en-2-on (137) | 107 |
| 4.3 Heck-Reaktion | 109 |
| 4.3.1 3,4,5,8,9,14b-Hexahydro-6 <i>H</i> -cyclopenta[a][1,3]dioxolo[4,5-h]-pyrrolo[2,1-b][3]benzazepin-6-on (110) | 109 |
| 5 Cephalotaxin-Analoga mittels Domino-Spirozyklisierung | 110 |
| 5.1 Domino-Spirozyklisierung zu Lactamen | 110 |
| 5.1.1 1-[2-(6-Brombenzo[1,3]dioxol-5-yl)-ethyl]-1-aza-spiro[4.4]nonan-2,7-dion (164) | 110 |
| 5.1.2 1-(6-Brombenzo[1,3]dioxol-5-yl)-methyl-1-aza-spiro[4.4]nonan-2,7-dion (165) | 111 |
| 5.1.3 1-(6-Brombenzo[1,3]dioxol-5-yl)-1-aza-spiro[4.4]nonan-2,7-dion (166) | 112 |
| 5.1.4 1-Phenethyl-1-aza-spiro[4.4]nonan-2,7-dion (167) | 113 |

| | | |
|----------|---|------------|
| 5.1.5 | 1-Benzyl-1-aza-spiro[4.4]nonan-2,7-dione (168) | 114 |
| 5.1.6 | 1-Phenyl-1-aza-spiro[4.4]nonan-2,7-dion (169) und 3-(3-Oxocyclopent-1-enyl)- <i>N</i> -phenyl-propionamid (172) | 115 |
| 5.1.7 | 1-Butyl-1-aza-spiro[4.4]nonan-2,7-dion (170) | 116 |
| 5.1.8 | 1- <i>sec</i> -Butyl-1-aza-spiro[4.4]nonan-2,7-dion (171) | 117 |
| 5.1.9 | 1-(6-Hydroxy-hexyl)-1-aza-spiro[4.4]nonan-2,7-dion (173) | 118 |
| 5.1.10 | 1-Phenethyl-1-aza-spiro[4.5]decan-2,7-dion (174) | 119 |
| 5.1.11 | 1-Benzyl-1-aza-spiro[4.5]decan-2,7-dion (175) | 120 |
| 5.1.12 | Thermische Cyclisierung von 8 | 120 |
| 5.2 | Palladium-katalysierte Arylierung von Enolaten | 121 |
| 5.2.1 | 2,3,4,5,8,9-Hexahydro-6 <i>H</i> ,14 <i>bH</i> -cyclopenta[a][1,3]dioxolo-[4,5-h]-pyrrolo[2,1-b][3]benzazepin-1,6-dion; 1,6-Dioxocephalotaxan (180) | 121 |
| 5.2.2 | 2,3,4,5,8,13 <i>b</i> -Hexahydro-6 <i>H</i> -cyclopenta[a][1,3]dioxolo-[4,5-g]-pyrrolo[2,1-b]isochinolin-1,6-dion (181) | 122 |
| 5.2.3 | 2,3,4,5,6,6 <i>a</i> -Hexahydro-1 <i>H</i> -cyclopenta[a][1,3]dioxolo-[4,5-f]-pyrrolo[1,2-b]indol-1,6-dion (182) | 123 |
| 6 | Untersuchungen zur Totalsynthese von Cephalotaxidin | 124 |
| 6.1 | Syntheseversuche über vierfache Palladium-Katalyse | 124 |
| 6.1.1 | (4 <i>S</i> , 2' <i>S</i> , 3' <i>R</i>)-3[5-Benzylxy-2-ethenyl-3-hydroxy-pentanoyl]-4-isopropyl-oxazolidin-2-on (195) | 124 |
| 6.1.2 | (4 <i>S</i> , 2' <i>S</i> , 3' <i>R</i>)-3[5- <i>tert</i> -Butyldiphenylsilyloxy-2-ethenyl-3-hydroxypentanoyl]-4-isopropyl-oxazolidin-2-on (196) | 125 |
| 6.1.3 | (2 <i>S</i> , 1 <i>R</i> , 4''' <i>S</i>)-Methansulfonsäure-1[2-(<i>tert</i> -butyl-diphenylsilyloxy)-ethyl]-2-(4-isopropyl-2-oxo-oxazolidin-3-carbonyl)-but-3-enylester (200) | 126 |
| 6.1.4 | (2 <i>S</i> , 1' <i>R</i>)-2(3-Benzylxy-1-hydroxypropyl)-but-3-ensäure (197) | 127 |
| 6.1.5 | (2 <i>S</i> , 1' <i>R</i>)-2(3-Benzylxy-1-hydroxypropyl)-but-3-ensäure-[2-(6-brom-benzo[1,3]dioxol-5-yl)ethyl]amid (198) | 128 |
| 6.1.6 | (2 <i>S</i> , 1' <i>R</i>)-2(3-Benzylxy-1-hydroxypropyl)-but-3-ensäure-[2-(6-nitro-benzo[1,3]dioxol-5-yl)ethyl]amid (199) | 129 |
| 6.1.7 | (2 <i>S</i> , 1' <i>S</i>)-2-(1-Azido-3-benzylxy-propyl)-but-3-ensäure-[2-(6-nitro-benzo[1,3]dioxol-5-yl)ethyl]amid (208) | 130 |

| | | |
|--------|---|-----|
| 6.1.8 | (4 <i>S</i> , 3 <i>R</i>)-1-Benzyloxy-4-(<i>tert</i> -butyl-diphenylsilanyloxy-methyl)-hex-5-en-3-ol (205) | 132 |
| 6.1.9 | (1 <i>R</i> , 2 <i>S</i>)-Methansulfonsäure-1-(2-benzyloxy-ethyl)-2-(<i>tert</i> -butyl-diphenyl-silanyloxymethyl)-but-3-enylester (206) | 133 |
| 6.1.10 | (2 <i>S</i> , 1 <i>S</i>)-[2-(1-Azido-3-benzyloxy-propyl)-but-3-enyloxy]- <i>tert</i> -butyl-diphenylsilan (209) | 134 |

III ANHANG

| | | |
|----------|---|------------|
| 1 | Röntgenstrukturdaten | 135 |
| 1.1 | Kristalldaten, Aufnahmeparameter, Intensitätsmessungen und Verfeinerung für die Verbindung 180 | 135 |
| 2 | Abkürzungsverzeichnis | 142 |
| 3 | Literaturverzeichnis | 144 |

IV DANKSAGUNG

V LEBENSLAUF